

تأثیر قید در جمع شدگی و نشت

خمیری مصالح تعمیری بر پایه بتن خودمتراکم

پرویز قدوسی^{۱*}، علی اکبر شیرزادی جاوید^۲

۱- استادیار دانشکده مهندسی عمران، دانشگاه علم و صنعت ایران

۲- دانشجوی کارشناسی ارشد مهندسی و مدیریت ساخت، دانشگاه علم و صنعت ایران

ghoddousi@iust.ac.ir

تاریخ دریافت: ۱۳۸۸/۱۲/۰۷

تاریخ پذیرش: ۱۳۸۹/۰۷/۰۷

چکیده- جمع شدگی خمیری، در زمانی که بتن حالت خمیری دارد رخ می‌دهد. در این زمان اگر بتن آزادانه جمع شود، هیچ ترکی در آن به وجود نمی‌آید اما در تعمیر سازه‌های بتنی، سطح بتن پایه زیر است و به علت این زیری، بتن تعمیری، تحت شرایط مقید قرار دارد و به دلیل توسعه نتش کششی در بتن تعمیری، احتمال ترک خوردگی بتن بسیار زیاد است. در این تحقیق ۴ نوع بتن تعمیری ارزیابی می‌شود که عبارتند از بتن خودمتراکم ساده، که در این تحقیق آ، حاوی میکروسیلیس که SS، حاوی میکروسیلیس و لاتکس استایرن بوتادین که SSLF نامیده شده اند. برای بررسی زیری‌های متفاوت روی سطح بتن پایه، شیارهایی با مقطع نیم‌دایره با درجات قید (شاخص قید) مختلف در هر دو جهت سطح ایجاد شده است. بتن تعمیری پس از ریخته شدن روی بتن اتاقک باد و گرما قرار گرفته است و جمع شدگی و نشت و پارامترهای ترک خوردگی اندازه‌گیری شده است. نتایج نشان می‌دهد. بتن حاوی الیاف و لاتکس، کمترین مقدار نشت و جمع شدگی خمیری را نشان می‌دهد. کمترین مساحت ترک و بیشترین زمان مشاهده اولین ترک مربوط به بتن نوع لاتکس است. همچنین کرنش جمع شدگی و نشت بتن خودمتراکم ساده و بتن حاوی میکروسیلیس حدوداً دو برابر بتن حاوی لاتکس و الیاف است.

کلیدواژه‌گان: کرنش نشت خمیری، جمع شدگی خمیری، رخ آب‌انداختگی، کرنش مقید

بلکه جمع شدگی مقید که بهوسیله قید ناشی از سطح بتن پایه در بتن تعمیری، ایجاد نتش کششی می‌کند، موجب ترک در سطح بتن می‌شود. بنابراین عواملی شامل شرایط محیطی، شرایط قید و ترکیبات خود بتن تعمیری در عملکرد بتن در مقابل جمع شدگی خمیری مؤثر است. برخی از محققان تنها نقش ترکیبات بتن و مخلوط‌های

۱- مقدمه
جمع شدگی خمیری در چند ساعت اول پس از بتن ریزی رخ می‌دهد. هنگامی که تبخیر آب از سطح بتنی که در مرحله خمیری است بیشتر از آب‌انداختگی آن می‌شود، بتن در معرض ترک خوردگی ناشی از این جمع شدگی است. جمع شدگی خمیری آزاد موجب هیچ ترکی نمی‌شود

که R برابر فاکتور قید است. در صورتی که هیچ قیدی در مقابل جمع شدگی بتن تعمیری وجود نداشته باشد (بین بتن پایه و بتن تعمیری، زبری و اصطکاک وجود نداشته باشد)، $R=1$ و $\epsilon_{rc} = \epsilon_{mc}$ برای یک عضو کاملاً مقید است.

در این تحقیق یک برآورد آزمایشگاهی از تأثیر الیاف، لاتکس و میکروسیلیس بر کرنش، نشست خمیری و ترکخوردگی ناشی از جمع شدگی خمیری انجام شده است.

۲- برنامه آزمایشگاهی

۲-۱- مصالح مصرفی

برای ساخت بتن پایه که از نوع بتن معمولی است از سیمان پرتلند نوع ۲، محصول کارخانه تهران به مقدار ۳۵۰ کیلوگرم در مترمکعب، سنگدانه ریز به مقدار ۷۱۰ کیلوگرم در مترمکعب، سنگدانه درشت با بیشینه اندازه ۲۵ میلی متر به مقدار ۱۱۰۲ کیلوگرم در مترمکعب و نسبت آب به سیمان ۰/۵۵ استفاده شده است. همچنین ابعاد این بتن برابر $600 \times 400 \times 100$ میلی متر و مقاومت فشاری ۲۸ روزه آن ۲۲ مگاپاسکال بوده است.

در ساخت بتن تعمیری که از نوع بتن خودمتراکم است، از سیمان پرتلند نوع ۲، محصول کارخانه تهران و ماسه رودخانه‌ای با وزن مخصوص $2/6$ به عنوان مصالح ریزدانه و سنگدانه درشت از جنس سنگ آهک با وزن مخصوص $2/68$ و با بیشینه اندازه $9/5$ میلی متر استفاده شده است. منحنی دانه‌بندی برای ساخت این بتن از منحنی $C_{9.5}$ طرح ملی مخلوط ایران انتخاب شده است. همچنین افزودنی‌های معدنی مورد استفاده در این تحقیق میکروسیلیس محصول کارخانه ازنا لرستان و پودر سنگ آهک با اندازه $2 \mu\text{m}$ است. افزودنی شیمیایی استفاده شده، فرق روان‌کننده و کاهنده قوی آب از نوع پلی‌کربوکسیلاتی و لاتکس

بتن را در افزایش یا کاهش جمع شدگی بررسی کرده‌اند [۶-۱]. مطالعات نشان می‌دهد که افزودن الیاف به بتن باعث محدود شدن و کاهش استعداد ترکخوردگی ناشی از جمع شدگی خمیری می‌شود. برانج و همکاران [۶] در تحقیق خود به این نتیجه رسیده‌اند که مساحت ترک با استفاده از الیاف پلی‌پروپیلن به میزان $1/0$ درصد حجمی، حدود ۴۰ تا ۸۵ درصد کاهش پیدا می‌کند. ما و همکاران [۷] در مطالعه خود بیان کردند که با افزودن الیاف، تعداد ترک‌های بزرگ کاهش اما ریزترک‌ها افزایش پیدا می‌کنند.

افزایش زیری سطح بتن پایه (بتنی که نیاز به تعمیر دارد)، به علت افزایش قید ناشی از این بتن در مقابل جمع شدگی خمیری بتن تعمیری (جمع شدگی خمیری مقید)، باعث ایجاد و افزایش تنفس کششی در بتن تعمیری شده و اگر این تنفس از ظرفیت کرنش کششی بتن تعمیری بیشتر باشد باعث ایجاد ترک در آن می‌شود. عباس‌نیا و همکاران [۹] گزارش کرده‌اند که تنفس در المان‌های بتنی به تنها بی‌متناوب با کرنش جمع شدگی خمیری اندازه‌گیری شده (واقعی) نیست بلکه متناوب با تفاضل کرنش جمع شدگی خمیری آزاد و کرنش جمع شدگی خمیری اندازه‌گیری شده است. به عبارت دیگر معادله (۱) این چنین بیان می‌شود:

$$\epsilon_{rc} = \epsilon_{fc} - \epsilon_{mc} \quad (1)$$

که ϵ_{rc} کرنش جمع شدگی خمیری مقید، ϵ_{fc} کرنش جمع شدگی خمیری آزاد و ϵ_{mc} کرنش جمع شدگی خمیری اندازه‌گیری شده (واقعی) است. کرنش خمیری مقید را می‌توان از معادلات (۲) و (۳) نیز محاسبه کرد:

$$\epsilon_{rc} = R \epsilon_{fc} \quad (2)$$

یا

$$\epsilon_{mc} = (1-R) \epsilon_{fc} \quad (3)$$

به دست می آید. شکل ۱ انواع بتن پایه در شاخص قیدهای مختلف و همچنین تصویر واقعی یک نمونه از آن را نشان می دهد. شرایط محیطی دالهای بتی به صورتی کنترل شده است تا آب و هوای گرم را شبیه سازی کند. برای این منظور یک اتفاق که مجهز به گرمکننده و تولیدکننده باد بود، ساخته شد. باد با سرعت ۳ km/hr از طرف پنکه تولید و بر بتن تعمیری دمیده شد.

در روز قبل از آزمایش، بتن پایه که ۳ ماه از ساخت آن گذشته است، درون حوضچه آب قرار داده شد تا ۲۴ ساعت در این حوضچه باقی بماند و در روز آزمایش به صورت اشباع با سطح خشک بوده و سپس دور آن قالب بندی شده و بتن تعمیری روی آن ریخته می شود. سپس سطح آن با یک ماله فلزی پرداخت شده و بتن پایه به همراه لایه تعمیری روی آن، به اتفاق باد انتقال داده شد. جدول ۲ انواع شاخص قیدهای مورد استفاده برای بتنهای مختلف تعمیری را نشان می دهد. متغیرهای آزمایش عبارت از ترکیبات متفاوت بتن تعمیری و شاخص قیدهای مختلف.

۲-۲- شرح آزمایش‌ها

آزمایش‌های رئولوژی بتن خودمتراکم، شامل آزمایش جریان اسلامپ، T_{50} ، قیف ۷، جعبه I و شاخص پایداری چشمی، مطابق روش شرح داده شده در منبع [۱۰] انجام شد.

استایرن بوتا دین با نام تجاری SBR است. هر دو افزودنی شیمیایی ذکر شده محصول شرکت فارس ایران است. همچنین از الیاف پلی پروپیلن به شکل صاف با طول ۱۹ میلی متر و قطر ۳۰ میکرون و وزن مخصوص ۰/۹ استفاده شده است. چهار نوع بتن تعمیری که در این تحقیق آزمایشگاهی ارزیابی شده است، عبارتند از بتن خودمتراکم ساده، بتن خودمتراکم حاوی میکروسیلیس، بتن خودمتراکم حاوی میکروسیلیس و لاتکس که و بتن خودمتراکم حاوی میکروسیلیس و لاتکس و الیاف است که در این تحقیق به ترتیب S، SS، SSL و SSLF نام گذاری شده‌اند. نسبت مخلوط‌ها برای انواع بتن خودمتراکم تعمیری در جدول ۱ نشان داده شده است. نسبت آب به سیمان برای همه بتنهای تعمیری، ۰/۴۵، انتخاب شده است. ابعاد بتن تعمیری $50 \times 50 \times 400$ میلی متر بوده است. برای ایجاد زبری، روی بتن پایه از یک روش جدید استفاده شده است؛ به این صورت که در زمانی که بتن پایه تازه ریخته شده و هنوز فرایند خشکشدنگی در آن اتفاق نیفتاده، فرورفتگی‌هایی به صورت نیم دایره در هر دو جهت مقطع، روی سطح بتن ایجاد می شود. برای این‌که تأثیر انواع قیدهای ناشی از بتن پایه روی جمع شدنگی خمیری بتن تعمیری ارزیابی شود، ۴ نوع بتن پایه با شاخص قید متفاوت ساخته شده است. شاخص قید از نسبت مساحت فرورفتگی‌ها در بتن پایه، بر مساحت کل سطح بتن پایه

جدول (۱) نسبت مخلوط انواع بتن تعمیری

مقاومت فشاری روزه ۲۸ (مگا پاسکال)	SBR (درصد وزن سیمان)	لاتکس (درصد وزن سیمان)	الیاف (درصد حجمی)	فوک روان کننده (درصد وزن سیمان)	مقادیر اجزای (Kg/m³)					گروه مخلوط
					سیمان	میکرو سیلیس	ماسه	شن	پودر سنگ آهک	
۴۳	-	-	-	۰/۶	۴۰۰	-	۱۱۹۰	۲۸۳	۲۱۲	S
۴۸	-	-	-	۰/۶	۳۶۸	۳۲	۱۱۹۰	۲۸۳	۲۱۲	SS
۳۰	۱۱	-	-	۰/۶	۳۶۸	۳۲	۱۱۹۰	۲۸۳	۲۱۲	SSL
۳۱	۱۱	۰/۲	۰/۸	۳۶۸	۳۲	۱۱۹۰	۲۸۳	۲۸۳	۲۱۲	SSLF

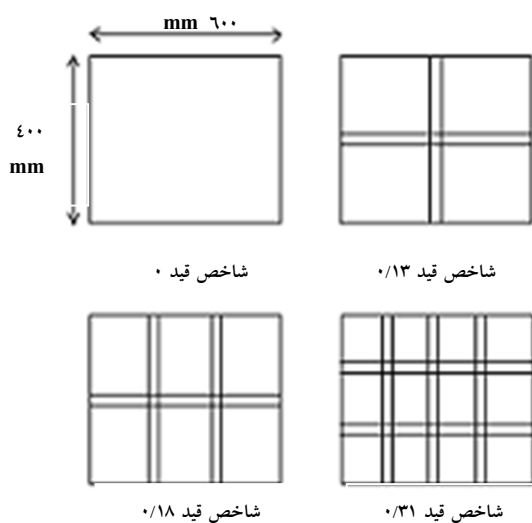
جدول (۲) انواع شاخص قیدهای مورد استفاده برای بتن‌های مختلف تعمیری

بتن تعمیری	شاخص قید
S	جمع شدگی آزاد
	.
	۰/۱۳
	۰/۱۸
	۰/۳۱
SS	جمع شدگی آزاد
	۰/۱۳
SSL	جمع شدگی آزاد
	۰/۱۳
SSLF	جمع شدگی آزاد
	۰/۱۳

تبخیر از سطح بتن با قرار دادن یک مکعب به ابعاد $10 \times 10 \times 10$ سانتی‌متر حاوی بتن به ضخامت ۵۰ میلی‌متر در فواصل زمانی ۲۰ دقیقه، اندازه‌گیری شد. هم‌چنین برای کنترل شرایط اتاقک، یک ظرف پر از آب داخل اتاقک و مجاور دال بتن قرار داده شد و تبخیر از ظرف آب در فواصل زمانی ۲۰ دقیقه ثبت شده است. نرخ آب‌انداختگی بتن، مطابق استاندارد [۱۱] ASTMC232 و به‌وسیله پیپت اندازه‌گیری شد.



شکل (۱) الف: تصویر بتن پایه با شاخص قید ۰/۱۳



شکل (۱) ب: انواع شاخص قیدهای ایجاد شده روی بتن پایه

۳-۲- اندازه‌گیری کرنش جمع شدگی
رونده‌اندازه‌گیری کرنش جمع شدگی بدین صورت است که در لحظه‌ای که بتن تازه ریخته شده است، پایه‌های پلاستیکی دو شاخص شبیه سوزن که مخصوص این کار ساخته شده است، درون بتن تازه قرار داده می‌شود. سپس به‌وسیله‌ی یک دستگاه لیزر، نور روی نوک این سوزن‌ها افتاده و تصویر آن روی دیوار مدرج که در فاصله دور از دال قرار دارد می‌افتد. این فاصله دور دیوار از دال و دستگاه، باعث می‌شود فاصله افقی بین دو سوزن روی بتن تازه بر دیوار بزرگ‌نمایی شده (حدود ده برابر) سپس تصویر بزرگ‌نمایی شده در فواصل ۲۰ دقیقه اندازه‌گیری شده و کرنش جمع شدگی خمیری محاسبه شود. در شکل ۲ این موضوع نشان داده شده است.

۴-۲- اندازه‌گیری پارامترهای توک خوردگی
عرض ترک در فاصله زمانی ۲۰ دقیقه به‌وسیله‌ی یک میکروسکوپ ویژه پایش ترک، به دقت 0.02 mm میلی‌متر و با قدرت بزرگ‌نمایی ۲۵ برابر، اندازه‌گیری شده است.

۳- نتایج و تفسیر

۳-۱- خواص بتن تازه

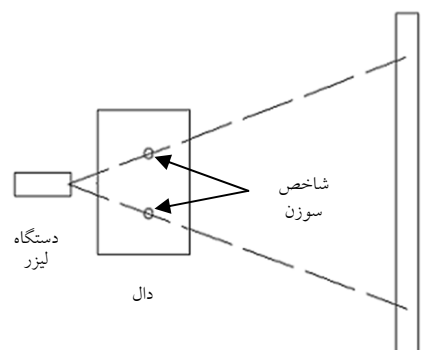
نتایج اندازه‌گیری خواص بتن تازه برای انواع بتن‌های تعمیری در جدول ۳ نشان داده شده است. همان‌طور که مشاهده می‌شود افزودن الیاف، باعث کاهش جریان اسلامپ و افزایش مقدار حلقه J می‌شود. شکل ۴ منحنی نرخ تبخیر از سطح بتن و نرخ آب‌انداختگی را برای بتن‌های مختلف نشان می‌دهد. شرایط محیطی به گونه‌ای انتخاب شده است که نرخ تبخیر از سطح ظرف همواره بیشتر از $1\text{ kg/m}^2/\text{hr}$ باشد. همان‌طور که در شکل مشاهده می‌شود، مخلوط حاوی میکروسیلیس (بتن نوع SS) کمترین نرخ آب‌انداختگی را نشان می‌دهد (نزدیک به صفر). مقایسه نرخ آب‌انداختگی بتن‌های نوع SSLF و SSLF نشان می‌دهد که افزودن الیاف، به طور چشم‌گیری نرخ آب‌انداختگی را کاهش می‌دهد. این مطلب مطابق نتایج به دست آمده به وسیله‌ی وانگتاناکیتچارون و نامان [۸] نیست.

۲-۳- جمع شدگی خمیری

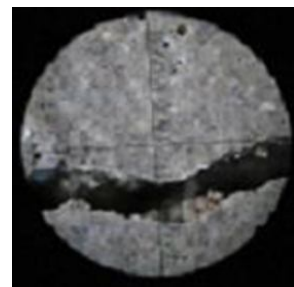
جدول ۴ نتایج کرنش جمع شدگی خمیری آزاد و اندازه‌گیری شده (واقعی) را برای بتن‌های مختلف در ساخته قید $0/13$ نشان می‌دهد. نتایج جدول نشان می‌دهد لاتکس باعث کاهش جمع شدگی خمیری آزاد می‌شود.

بتن حاوی الیاف (بتن نوع SSLF) کمترین کرنش را دارد؛ به عبارت دیگر این مطلب تأیید می‌شود که افزودن الیاف به طور قابل ملاحظه‌ای جمع شدگی آزاد را کاهش می‌دهد. این نتایج با نتایج به دست آمده در منبع [۸] مطابقت دارد. هم‌چنین جدول ۴ نشان می‌دهد نوع بتن و ترکیبات آن، تأثیر قابل ملاحظه‌ای روی کرنش جمع شدگی اندازه‌گیری (ϵ_{mc}) دارد. بتن حاوی میکروسیلیس (نوع SS) بیشترین نتایج را دارد که ممکن است به علت فقدان

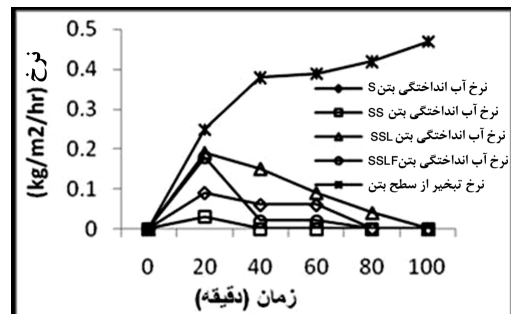
هم‌چنین طول ترک به وسیله‌ی یک خطکش با دقت یک میلی‌متر ثبت شده است. زمان شروع ترک خوردگی نیز در زمان مشاهده اولین ترک با چشم، ثبت شده است. سپس پارامترهای ترک خوردگی شامل کل مساحت ترک، بیشینه و میانگین عرض ترک، تعیین شده است. برای محاسبه میانگین عرض ترک، عرض ترک در ۱۰ نقطه متفاوت اندازه‌گیری شده است. شکل ۳ تصویر گرفته شده از ترک به وسیله‌ی دوربین را نشان می‌دهد.



شکل (۲) نحوه اندازه‌گیری کرنش جمع شدگی خمیری



شکل (۳) تصویر گرفته شده از ترک به وسیله‌ی دوربین



شکل (۴) منحنی نرخ تبخیر و آب‌انداختگی انواع بتن‌های تعمیری

می دهد که بیشترین مقدار ϵ_{rc} مربوط به بتن SS و کمترین مقدار مربوط به بتن SSLF است. همچنین شکل ۷ مقدار ϵ_{rc} مقدار ۷ را برای بتن نوع S در شاخص قیدهای متفاوت نشان می دهد. همان طور که از شکل مشاهده می شود با افزایش شاخص قید، کرنش جمع شدگی مقید افزایش پیدا می کند. همچنین در شاخص قید برابر صفر، یعنی زمانی که فرورفتگی در بتن پایه وجود ندارد اما لایه پلاستیکی هم بین دو بتن قرار داده نشده است، مقدار ϵ_{rc} قابل ملاحظه و حدود ۴۰۰۰ میکرو کرنش است. بر این مطلب تأکید می شود که حتی در زبری های بسیار کم هم کرنش مقید بسیار زیادی در بتن ایجاد می شود که باعث تنش کششی بالایی در بتن تعمیری است.

آب انداختگی در این بتن باشد. شکل ۵ منحنی مقدار ϵ_{mc} را برای بتن S در شاخص قیدهای مختلف نشان می دهد. نتایج نشان می دهد با افزایش قید ناشی از بتن پایه، ϵ_{mc} کاهش پیدا می کند. همچنین از شکل مشاهده می شود در زبرترین حالت بتن پایه (بیشترین شاخص قید)، ϵ_{mc} حدود دو برابر نسبت به جمع شدگی آزاد کاهش پیدا می کند.

۳-۳- کرنش جمع شدگی مقید

مطابق با معادله (۱)، کرنش جمع شدگی مقید (ϵ_{rc}) تا لحظه قبل از ترک خوردگی از رابطه زیر محاسبه می شود:

$$\epsilon_{rc} = \epsilon_{fc} - \epsilon_{mc}$$

مقدار محاسبه شده ϵ_{rc} برای بتن های مختلف در شاخص قید ۰/۱۳ در شکل ۶ نشان داده شده است. این شکل نشان

جدول (۳) نتایج آزمایش های رئولوژی روی انواع بتن خودمتراکم تعمیری

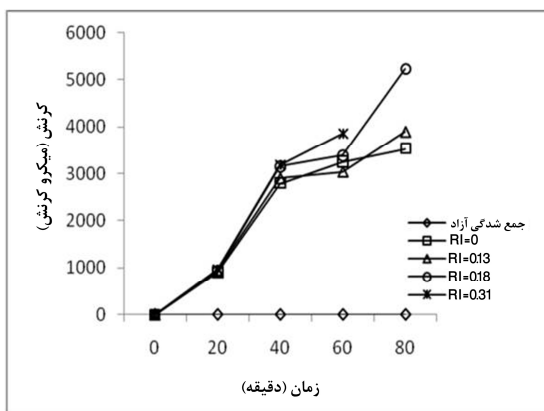
شاخص پایداری چشمی	جریان اسلامپ		V (تفیف)	L (S) (جعبه H ₂ / H ₁)	حلقه J (mm)	گروه مخلوط
	(mm)	(S) T ₅₀				
۱	۷۳۰	۳	۲/۵	۱	۶	S
۱	۶۲۰	۱/۶	۳/۷	۰/۹۶	۷	SS
۲	۷۶۰	۱/۲	۲/۷	۰/۹	۹	SSL
۲	۶۱۰	۲/۵	۶	۰/۸۱	۱۵	SSLF

جدول (۴) کرنش جمع شدگی خمیری آزاد و اندازه گیری شده (واقعی)، برای بتن های مختلف در شاخص قید ۰/۱۳

کرنش جمع شدگی خمیری بتن های مختلف تعمیری								زمان (دقیقه)	
S		SS		SSL		SSLF			
ϵ_{fc}	ϵ_{mc}	ϵ_{fc}	ϵ_{mc}	ϵ_{fc}	ϵ_{mc}	ϵ_{fc}	ϵ_{mc}		
۱۳۴۹	۴۱۰	۲۴۱۱	۲۱۴۶	۱۵۳۰	۱۰۳۲	۱۰۱۷	۳۷۲	۲۰	
۴۵۸۳	۱۶۸۴	۴۳۷۶	۲۷۰۷	۳۱۴۴	۲۰۶۳	۲۱۵۱	۳۷۲	۴۰	
۵۹۶۰	۲۹۱۹	۶۱۰۸	۳۲۱۹	۴۸۷۷	۲۴۰۷	۲۹۳۶	۸۰۰	۶۰	
۸۱۲۲	۴۲۲۵	۸۷۲۲	۴۲۹۲	۶۱۲۲	۲۷۵۱	۳۷۸۰	۱۴۹۰	۸۰	
۹۷۶۶	-	-	-	۶۱۲۲	۲۷۵۱	۳۷۸۰	۱۸۸۳	۱۰۰	

جدول (۵) پارامترهای ترک خورده بتن های مختلف در شاخص قید ۰/۱۳

زمان مشاهده اولین ترک (دقیقه)	تعداد ترک	طول ترک (میلی متر)	میانگین عرض ترک (میلی متر)	مساحت کل ترک (میلی متر مربع)	نوع مخلوط
۹۵	۶	۷۶۰	۰/۰۳	۲۵۳۳	S
۸۵	۹	۸۹۰	۰/۰۵۴	۱۶۴۸	SS
۱۲۰	۲	۳۴۰	۰/۰۳۱	۱۰۹۶	SSL
-	-	-	-	-	SSLF



شکل (۷) کرنش جمع شدگی مقید برای بتن نوع S در شاخص قیدهای متفاوت

کمترین زمان مشاهده اولین ترک، بیشترین تعداد ترک و بیشینه عرض ترک، مربوط به بتن حاوی میکروسیلیس (SS) است که این مطلب مطابق با نتایج ارائه شده توسط قدوسی و همکاران [۱۲] و سامان [۱۳] است. اضافه کردن لاتکس به بتن (بتن نوع SSL) باعث کاهش استعداد ترک خورده بتن می شود. احتمال دارد دلیل این امر شکل پذیری بیشتر و تغییر در لزجت بتن حاوی لاتکس باشد.

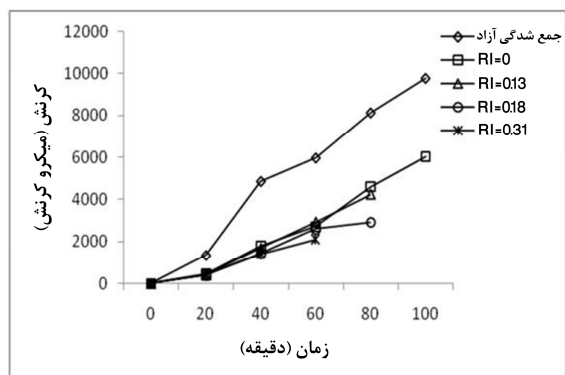
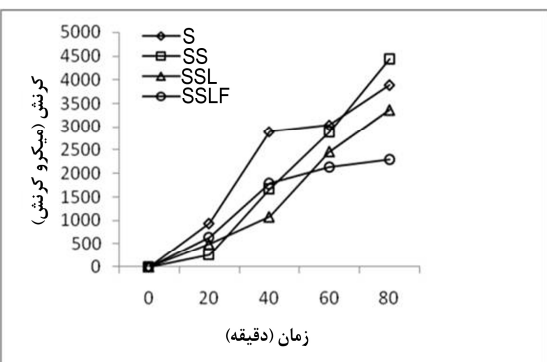
۴- نتیجه گیری

با توجه به نتایج و یافته های به دست آمده در این تحقیق می توان موارد زیر را نتیجه گرفت.

- در مطالعه جمع شدگی خمیری مقید، مقادیر اندازه گیری شده (واقعی)، تصویر درستی از مفهوم

۴-۳- پارامترهای ترک خورده

جدول ۵ پارامترهای ترک خورده بتن های مختلف در شاخص قید ۰/۱۳ نشان می دهد. همان طور که از جدول مشخص است، بتن SSLF در پایان آزمایش ترک خورده است.

شکل (۵) کرنش جمع شدگی اندازه گیری شده (ϵ_{mc}) برای بتن S در شاخص قیدهای مختلف

شکل (۶) کرنش جمع شدگی مقید برای انواع بتن تعمیری در شاخص قید ۰/۱۳

- [6] Branch, J.; Rawling, A.; Hannat, D.J.; Mulheron, M.; "The effect of fibers on the plastic shrinkage cracking of high strength concrete"; Materials and structures; vol. 35;2002;pp189-194.
- [7] Ma, Y.; Tan, Z.M.; Wu, K.; "Effect of Y type polypropylene fiber on plastic shrinkage cracking of cement mortar"; Materials and structures;vol. 37; 2004;pp92-95.
- [8] Wongtanakitcharoen, T.; Naaman, A.; "Unrestrained early age shrinkage of concrete with polypropylene, PVA, and carbon fibers"; Materials and structures;2007;pp289-300.
- [9] Abbasnia, R.; Ghoddousi, P.; Ahmadi, J.; "Prediction of restrained shrinkage based on restraint factors in patching repair mortar"; Cement and Concrete Research; vol.35; 2005;pp1909-1913.
- [10] PCI ; "Interm guidelines for the use of self-consolidating concrete institute member plants"; 2003;PCI.
- [11] ASTM Standard Designation C 232; Standard test method for bleeding; Annual book of ASTM standards; Pennsylvania ; United State; vol. 4.02.
- [12] Ghoddousi, P.; Raiss ghasemi, A.M.; Parhizkar, T.; "A comparison between plastic shrinkage of concrete containing silica fume and the normal concrete";International Journal of civil Engineering (IUST); vol. 5(4);2007;pp266-273.
- [13] Samman, T.; Mirza, W.H.; Wafa, F.F.; "Plastic shrinkage cracking of normal and high-strength concrete: a comparative study"; ACI materials journal; vol.93(1); 1996;pp36-40.

جمع شدگی ارائه نمی دهد بلکه کرنش جمع شدگی اندازه گیری شده، باید به کرنش جمع شدگی مقید تبدیل شود.
- کرنش جمع شدگی خمیری مقید، تنها از نرخ آب اندختگی تأثیر نمی پذیرد بلکه عوامل دیگر شامل شرایط و نوع قید، افروزندهای بتن مانند الیاف و لاتکس استایرن بوتادین و میکروسیلیس، تأثیر اساسی روی آن دارند، به طوری که بتن حاوی میکروسیلیس (نوع SS) بیشترین کرنش مقید را نشان داده و بتن حاوی میکروسیلیس، لاتکس و الیاف (نوع SSLF) کمترین کرنش مقید را نشان داده است. این رفتار همچنین در نشست خمیری اندازه گیری شده، مشاهده شده است.
- با استفاده از الیاف پلی پروپیلن و لاتکس استایرن بوتادین هیچ ترکی در بتن نوع SSLF مشاهده نشده است.

۵- منابع

- [1] Khayat, K.H.; Hwang, S.D.; "Durability of self-consolidating concrete used in repair applications. In: proceedings of the international symposium on durability of concrete"; Editor: Alejandro Duran-Herrera and FIC-UANL academic group on concrete technology, Mexico, 2005; pp121-141.
- [2] Al-Amoudi, O.S.B.; Moslehuddin, M.; Shameem, M.; Ibrahim, M.; "Shrinkage of plain and silica fume concrete under hot weather"; Cement and Concrete Composites; vol. 29; 2007; pp690-699.
- [3] Hwang, S.D.; Khayat, K.H.; "Effect of mixture composition on restrained shrinkage cracking of self-consolidating concrete used in repair"; ACI Materials journal; vol. 105(5);2008;pp499-509.
- [4] Hammer, T.A.; "Effect of silica fume on the plastic shrinkage and pore water pressure of high-strength concretes"; Materials and structures;vol. 34;2001; pp273-278.
- [5] Turcry, P.; Loukili, A.; "A evaluation of plastic shrinkage cracking of self-consolidating concrete"; ACI Materials Journal; vol. 103(4); 2006; pp272-279.